

该配置下,模型效果如图 8 所示,横轴为迭代次数,纵轴为准确率.

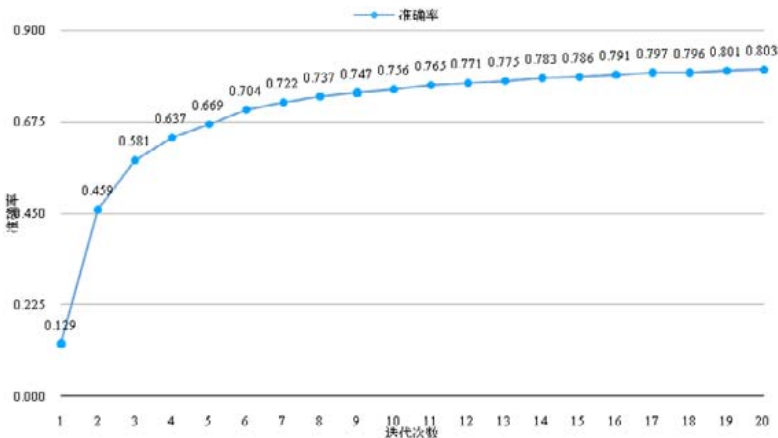


Fig.8 Accuracy of DL model ($HIDDEN_SIZE=250, NUM_LAYER=2, LR=0.002$)

图 8 深度学习模型准确率($HIDDEN_SIZE=250, NUM_LAYER=2, LR=0.002$)

经过 20 次迭代后,模型准确率达到 80.3%.该参数组合在验证集上效果最优,因此最终用于缺陷预测的模型参数为: $HIDDEN_SIZE=250, NUM_LAYER=2, LR=0.002, NUM_EPOCH=20$.

4.3 代码缺陷检测实验

本节进行基于深度学习模型的 API 误用相关代码缺陷检测实验.进行该部分实验前,对实验中的测试标准进行定义.

- 定义 TP 为检测文件 API 误用缺陷位置正确的不重复缺陷报告数.
- 定义 FP 为检测文件 API 误用缺陷位置错误的不重复缺陷报告数.
- 定义 FN 为未进行报告的缺陷报告数.

1. 查准率(precision)定义为

$$P = \frac{TP}{TP + FP} \quad (1)$$

2. 召回率(recall)定义为

$$R = \frac{TP}{TP + FN} \quad (2)$$

3. 查准率和召回率的调和均值($F1$)定义为

$$F1 = \frac{2TP}{2TP + FP + FN} \quad (3)$$

查准率和召回率往往体现的是实验结果的一个侧面,比如召回率较高的模型在查准率上不一定很高.因此在本文的实验中,采用二者的调和均值 $F1$ 进行 API 误用缺陷检测的实验评价.

4.3.1 实验数据

本次实验中,根据相关文献中 Java Cryptography API 误用的真实数据^[5],选用了从 SourceForge 和 GitHub 上的优质项目(大于 10 星)中整理的关于 Java Cryptography APIs 的误用代码片段 8 个,其中包含 API 误用 14 个,将这 14 个 API 误用作为计算模型查准率、召回率以及 $F1$ 值的测试集.实验所用的测试集整理如表 1 所示,表格中标明了每个测试用例的代码来源、API 误用方法来源、误用引入缺陷的具体 API 以及 API 误用的说明,所有测试用例源码可通过代码来源在托管平台上下载.

Table 1 Information of test case

表 1 测试用例信息

编号	代码来源	API 误用方法	API 误用	API 误用说明
1	https://github.com/alibaba/druid/commit/e10f2849d046265bf17360ab4aa9eb60fd3ab8de	Decrypt(PublicKey, String)	javax.crypto.Cipher.init(int, java.security.Key)	An instance of Cipher is used twice (the init() method is called again), which is an invalid operation
2	https://github.com/alibaba/druid/commit/e10f2849d046265bf17360ab4aa9eb60fd3ab8de	Encrypt(byte[], String)	javax.crypto.Cipher.init(int, java.security.PrivateKey)	A call to Cipher.init() may throw an InvalidKeyException
3	https://github.com/android-rcs/rsjta/commit/04d84799daa51ed7cc0ad270f0eea51ffaf7a53a#diff-bf160ca00204f2ae4c100aabe57a1dfd	getContributionId(String)	java.lang.String.getBytes()	Exports bytes for Mac.doFinal() without specifying the encoding
4	https://github.com/android-rcs/rsjta/commit/04d84799daa51ed7cc0ad270f0eea51ffaf7a53a#diff-bf160ca00204f2ae4c100aabe57a1dfd	getContributionId(String)	javax.crypto.Mac.doFinal(byte[])	Exports bytes for Mac.doFinal() without specifying the encoding
5	http://sourceforge.net/p/adempiere/svn/1312/tree/trunk/looks/src/org/compiere/util/Secure.java?diff=5139a2ef34309d2ec1827857:1311	encrypt(String)	java.lang.String.getBytes()	A string is converted to bytes without specifying an explicit encoding. The bytes are then passed to Cipher.doFinal()
6	http://sourceforge.net/p/adempiere/svn/1312/tree/trunk/looks/src/org/compiere/util/Secure.java?diff=5139a2ef34309d2ec1827857:1311	Encrypt(String)	javax.crypto.Cipher.doFinal(byte[])	A string is converted to bytes without specifying an explicit encoding. The bytes are then passed to Cipher.doFinal()
7	http://sourceforge.net/p/adempiere/svn/1312/tree/trunk/looks/src/org/compiere/util/Secure.java?diff=5139a2ef34309d2ec1827857:1311	Decrypt(String)	java.lang.String.new(byte[])	An encrypted message is decrypted and then converted back to a string, without specifying an explicit encoding. The fix specifies the encoding “UTF-8”
8	http://sourceforge.net/p/battleforge/code/878/tree/trunk/de.battleforge/src/java/de/battleforge/util/BFProperties.java?diff=50ee84dee88f3d24b3d975fe:877	setProperty(BFProps, String, boolean)	java.lang.String.new(byte[])	Encoded data is converted into a String for storing, without explicitly specifying an encoding. The fix introduces base64 encoding
9	http://sourceforge.net/p/battleforge/code/878/tree/trunk/de.battleforge/src/java/de/battleforge/util/BFProperties.java?diff=50ee84dee88f3d24b3d975fe:877	setProperty(BFProps, String, boolean)	java.lang.String.getBytes()	Text is converted to bytes for encoding without an explicit encoding. The bytes are then passed to Cipher.doFinal()
10	http://sourceforge.net/p/battleforge/code/878/tree/trunk/de.battleforge/src/java/de/battleforge/util/BFProperties.java?diff=50ee84dee88f3d24b3d975fe:877	setProperty(BFProps, String, boolean)	javax.crypto.Cipher.doFinal(byte[])	Text is converted to bytes for encoding without an explicit encoding. The bytes are then passed to Cipher.doFinal()
11	http://sourceforge.net/p/battleforge/code/878/tree/trunk/de.battleforge/src/java/de/battleforge/util/BFProperties.java?diff=50ee84dee88f3d24b3d975fe:877	getProperty(BFProps)	java.lang.String.getBytes()	Encoded data is retrieved from a string (from storage) without explicitly specifying an encoding. The bytes are then passed to Cipher.doFinal()
12	http://sourceforge.net/p/battleforge/code/878/tree/trunk/de.battleforge/src/java/de/battleforge/util/BFProperties.java?diff=50ee84dee88f3d24b3d975fe:877	getProperty(BFProps)	javax.crypto.Cipher.doFinal(byte[])	Encoded data is retrieved from a string (from storage) without explicitly specifying an encoding. The bytes are then passed to Cipher.doFinal()

Table 1 Information of test case (Continued)**表 1** 测试用例信息(续)

编号	代码来源	API 误用方法	API 误用	API 误用说明
13	http://sourceforge.net/p/battleforge/code/878/tree/trunk/de.battleforge/src/java/de/battleforge/util/BFProperties.java?diff=50ec84dee88f3d24b3d975fe:877	getProperty(BFProps)	java.lang.String. new(byte[])	Decoded data is converted to String without explicitly specifying an encoding
14	https://sourceforge.net/p/jmrtd/code/51/tree//passporthostapi/src/sos/mrtd/SecureMessagingWrapper.java?diff=5058d727fd48f84fd52d6740:50	readDOSE(DataInputStream, byte[])	EOS	DataOutputStream is left open

这些测试用例中包含 4 种类型的 API 误用(不互斥).

- a. 使用了多余的 API 调用;
- b. 使用了错误的 API 调用;
- c. 遗漏了关键的 API 调用;
- d. 忽略了对 API 调用中可能抛出的异常的处理.

其中,测试用例 1 使用了多余的 API 调用;测试用例 2 忽略了对 API 调用中可能抛出的异常的处理;测试用例 3、测试用例 5、测试用例 7~测试用例 9、测试用例 11、测试用例 13 使用了错误的 API 调用;测试用例 4、测试用例 6、测试用例 10、测试用例 12、测试用例 14 遗漏了关键的 API 调用.

4.3.2 实验设计

人工整理 API 误用测试用例,将每个 API 误用标注成标准化的格式“文件路径,方法,API 误用缺陷位置,误用 API”,用于计算查准率、召回率和 F1 值.

在进行 API 误用缺陷检测时,DeepLSTM 将预测出 API 调用序列上某个位置上的 API 调用概率列表,为进行缺陷检测,定义 API 调用在 API 调用概率列表中可以接受的排名范围,在本文中称为可接受阈值(acceptable threshold).假设实验中的缺陷检测模型的可接受水平设置为 k ,那么当 API 调用在 API 调用概率列表中的排名在 Top-1~Top- k 之间时(包括 Top- k),认为该 API 调用在本次 API 误用缺陷检测中处于 API 调用的可接受范围内;反之,认为该 API 调用属于 API 误用代码缺陷.

为验证模型的有效性,设置以下模型作为实验的对比模型.

- (1) 基准模型(baseline).该模型假设 API 调用序列上的每个位置都可能是潜在的 API 误用,该假设覆盖到所有的 API 误用缺陷,召回率恒定为 1,在测试集上的查准率为 0.088 6,F1 值为 0.163.
- (2) N -gram 检测模型.Bugram^[10]基于 N -gram 语言模型实现了对存在 API 误用的异常序列的检测.本文关注于对 API 调用序列上某一位置可能存在的 API 误用的检测,因此,本文实现 Bugram 应用的 N -gram 预测模型作为对比实验,使用与深度学习模型训练时相同的 API 调用序列,训练 N -gram 模型,基于前 N 个词元预测下一个词元.实验中取 $N=\{3,4,5\}$ 分别对应 3-gram 模型、4-gram 模型和 5-gram 模型,并进行 Jelinek-Mercer 平滑处理^[25]. N -gram 检测模型应用 N -gram 预测模型对 API 调用序列上某个位置的 API 调用概率列表进行预测,同样的,应用可接受阈值(Top- k)进行缺陷检测.

在本实验中,比较不同模型的 API 误用缺陷检测效果,并探究可接受阈值的取值对代码缺陷检测模型的 F1 值的影响.

4.3.3 实验结果分析

经测试,API 误用缺陷检测的实验结果如图 9 所示,图中折线表示不同的实验模型,横轴表示可接受阈值($top-k$)的取值,图 9(a)是各模型的 F1 值,图 9(b)是各模型的查准率,图 9(c)是各模型的召回率.

从结果中可以看出:

在一定范围内,DeepLSTM 的查准率均高于基准模型且召回率大于等于 50%,有一定的缺陷检测能力.本实

验中 4-gram 模型较 3-gram 模型和 5-gram 模型缺陷检测效果较好,但在本实验中,它们均不如基准模型(查准率最高约和基准持平).而相较而言,DeepLSTM 模型在本次实验所采用的模型中有一定的检测能力且效果最好.

当可接受阈值取到 Top-8 时,DeepLSTM 缺陷检测效果最好.

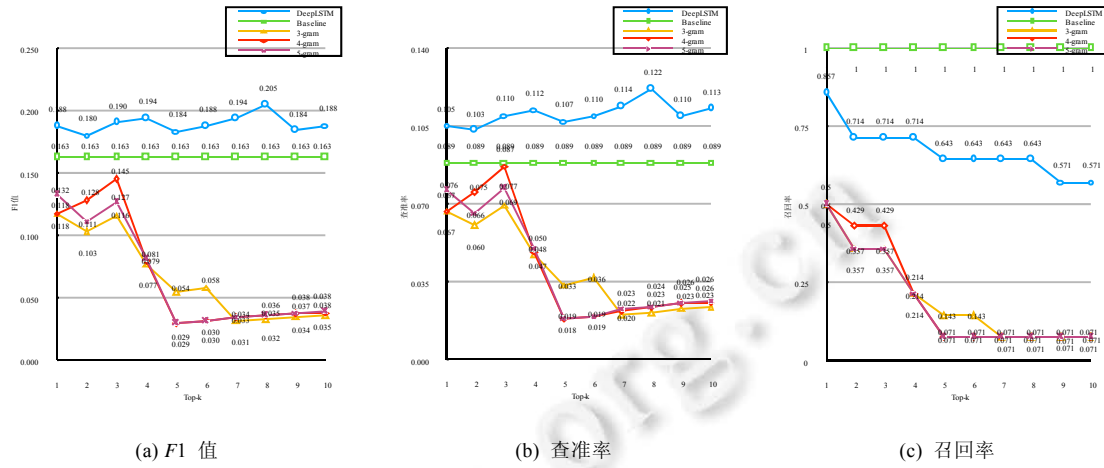


Fig.9 Result of API misuse bug detection experiment

图 9 API 误用缺陷检测实验结果

为了进一步探究 API 误用类型与模型能力的关系,实验中,将 DeepLSTM 模型对应每个可接受阈值(top- k)的具体 API 误用缺陷报告情况整理在表 2 中,表格中检测正确的 API 误用用“√”表示,未检出的 API 误用用“_”表示.

Table 2 API misuse bug detection reports statistics

表 2 API 误用缺陷检测报告情况统计

测试用例	Top-1	Top-2	Top-3	Top-4	Top-5	Top-6	Top-7	Top-8	Top-9	Top-10
1	√	_	_	_	_	_	_	_	_	_
2	√	√	√	√	√	√	√	√	_	_
3	√	√	√	√	√	√	√	√	√	√
4	√	_	_	_	_	_	_	_	_	_
5	√	√	√	√	√	√	√	√	√	√
6	√	√	√	√	√	√	√	√	√	√
7	√	√	√	√	√	√	√	√	√	√
8	√	√	√	√	√	√	√	√	√	√
9	√	√	√	√	√	√	√	√	√	√
10	√	√	√	√	_	_	_	_	_	_
11	√	√	√	√	√	√	√	√	√	√
12	_	_	_	_	_	_	_	_	_	_
13	√	√	√	√	√	√	√	√	√	√
14	_	_	_	_	_	_	_	_	_	_

基于整理后的 API 误用缺陷检测报告情况,按照测试集中 API 误用的误用类型对缺陷检测报告情况进行进一步的可视化统计分析,如图 10 所示.

纵轴表示了不同类型的 API 误用缺陷,横轴表示检测出以及未检出的该类型 API 误用数量在该类型 API 误用总数中的占比,用颜色深蓝色、浅绿色分别表示检测出和未检出的两种情况,图中有 10 个独立的子图来分别表示每个可接受阈值(top- k)对应的 API 误用缺陷检测报告情况.

分析该图,可以看出:

- 随着 k 取值的增大,在某些 API 误用的检测上,模型的效果保持基本不变(错误的 API 调用),一定程度说明了本实验中采用的缺陷检测方法对检测该类 API 误用的有效性:当一个 API 误用在 API 调用序列中

不应该出现(使用了错误的 API)时,则应用本实验中按位置预测并比较检测 API 误用是可行且有效的.

- 但是与之相反的,随着 k 取值的增大,在某些 API 误用的检测上,模型效果不断降低(遗漏 API 调用),这一定程度上也说明了本实验中采用的缺陷检测方法对检测该类 API 误用的局限性:当一个关键性 API 在 API 调用序列中遗漏,仅靠当前的 API 调用序列作为预测的前文,很难推断出下一位置是否遗漏了某个 API.例如,某个关键性 API 可能在当前位置更靠后几个调用中出现,这种情况对目前采用的仅对一个位置的 API 误用缺陷进行检测的方法就具有很大的挑战性.
- 随着 k 取值的增大,在某些 API 误用的检测上,模型效果有较大的突变(多余的 API 调用、忽略异常处理),这与本实验中采用的测试集有一定的关系——多余的 API 调用和忽略异常处理的测试用例都仅有 1 个.但是在 k 取到一定范围(top-8)之前,本实验中采用的缺陷检测方法对忽略异常处理类型的 API 误用缺陷检测效果还是不错的.
- 就每个独立子图而言,也可以验证以上几点结论:本实验采用的 API 误用缺陷检测方法,对检测错误的 API 调用类型的 API 误用效果较好,而在发现遗漏 API 调用类型的 API 误用上,能力稍有欠缺.

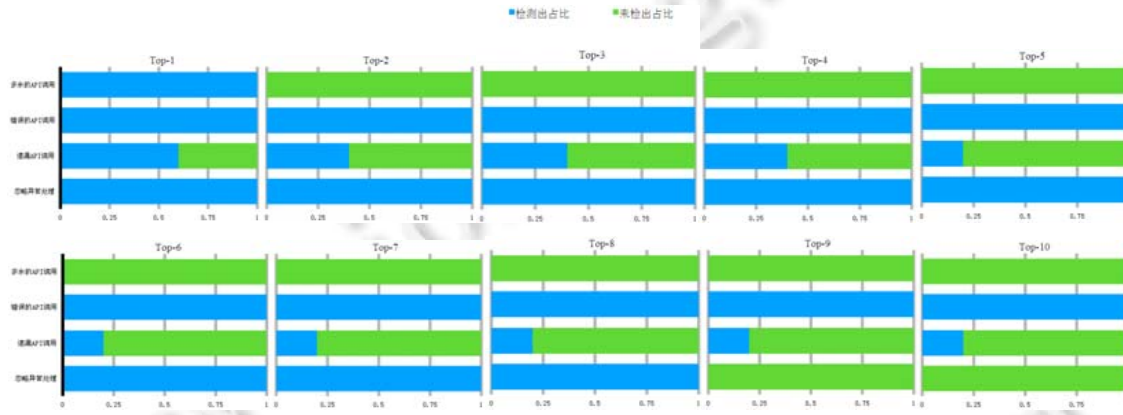


Fig.10 Analysis of relationship between acceptable threshold and type of API misuse

图 10 可接受阈值与 API 误用类型关系分析

综上,本实验应用深度学习模型学习大量代码中的 API 使用规约,并应用在 API 误用缺陷检测上的方法.虽然由于大量开源代码中可能存在些许误用的 API 代码,影响到训练数据的质量,对模型的效果产生着一定的影响,但是本实验中,模型在以检测 Java 加密相关的 API 误用代码缺陷为例的实验中仍然起到了一定的效果,以可接受阈值为 8 时效果最佳(F_1 值、准确率).在本实验中,模型对检测错误的 API 调用类型的 API 误用效果较好,而在发现遗漏 API 调用类型的 API 误用上能力稍有欠缺,这与每种 API 误用类型内在的规律特征密不可分.

5 结束语

本文将深度学习中的循环神经网络模型应用于 API 使用规约的学习及 API 误用缺陷的检测.将 API 调用组合、顺序及控制结构等方面的使用规约建模为 API 语法图和 API 调用序列.在大量的开源 Java 代码基础上,对代码进行静态分析,并构造大量 API 使用规约训练样本,对循环神经网络进行训练.在实验中通过尝试不同参数组合,选定并训练出较优的循环神经网络模型,并用于基于前文的 API 调用预测,通过预测结果与实际代码进行比较来发现潜在的 API 误用缺陷.随后,在以检测 Java 加密相关的 API 误用代码缺陷为例的实验中证明了该方法的有效性.实验表明,本方法检测错误的 API 调用类型的 API 误用时最为稳定有效.

本文提出的方法在一定程度上能自动检测 API 误用缺陷,并在某类 API 误用的检测中较为有效,但是还存在一些不足和可改进之处——在发现遗漏 API 调用类型的 API 误用上,能力稍有欠缺.在未来研究中,可考虑对多个位置的 API 调用进行预测比对,减少模型由于单个位置的预测带来的 API 是否漏用的不确定性.

References:

- [1] Li Z, Wu JZ, Li MS. Study on key issues about API usage. *Ruan Jian Xue Bao/Journal of Software*, 2018,29(6):1716–1738 (in Chinese with English abstract). <http://www.jos.org.cn/1000-9825/5541.htm> [doi: 10.13328/j.cnki.jos.005541]
- [2] Zhou Y, Gu R, Chen T, Huang Z, Panichella S, Gall H. Analyzing APIs documentation and code to detect directive defects. In: Proc. of the 39th Int'l Conf. on Software Engineering. 2017. 27–37. [doi: 10.1109/ICSE.2017.11]
- [3] Liu S, Bai G, Sun J, Dong JS. Towards using concurrent Java API correctly. In: Proc. of the 21st Int'l Conf. on Engineering of Complex Computer Systems. 2016. 219–222. [doi: 10.1109/ICECCS.2016.32]
- [4] Sacramento P, Cabral B, Marques P. Unchecked exceptions: Can the programmer be trusted to document exceptions. In: Proc. of the 2nd Int'l Conf. on Innovative Views of NET Technologies. 2006.
- [5] Amann S, Nadi S, Nguyen HA, et al. MUBench: A benchmark for API-misuse detectors. In: Proc. of the 13th Int'l Conf. on Mining Software Repositories. 2016. 464–467. [doi: <http://dx.doi.org/10.1145/2901739.2903506>]
- [6] Gao Q, Zhang H, Wang J, et al. Fixing recurring crash bugs via analyzing q&a sites (T). In: Proc. of the 2015 30th IEEE/ACM Int'l Conf. on Automated Software Engineering. 2015. 307–318. [doi: 10.1109/ASE.2015.81]
- [7] Zhong H, Zhang L, Mei H. Mining invocation specifications for API libraries. *Ruan Jian Xue Bao/Journal of Software*, 2011,22(3): 408–416 (in Chinese with English abstract). <http://www.jos.org.cn/1000-9825/3931.htm> [doi: 10.3724/SP.J.1001.2011.03931]
- [8] Li Z, Zhou Y. PR-miner: Automatically extracting implicit programming rules and detecting violations in large software code. *SIGSOFT Software Engineering Notes*, 2005,30(5):306–315. [doi: 10.1145/1081706.1081755]
- [9] Zhong H, Zhang L, Xie T, Mei H. Inferring resource specifications from natural language API documentation. In: Proc. of the 2009 IEEE/ACM Int'l Conf. on Automated Software Engineering. 2009. 307–318. [doi: 10.1109/ASE.2009.94]
- [10] Wang S, Chollak D, Movshovitz-Attias D, Tan L. Bugram: Bug detection with n -gram language models. In: Proc. of the 2016 31st IEEE/ACM Int'l Conf. on Automated Software Engineering. 2016. 708–719. [doi: 10.1145/2970276.2970341]
- [11] https://en.wikipedia.org/wiki/Deep_learning
- [12] Zheng ZY, Liang BW, Gu SY. TensorFlow: Googled Deep Learning Framework, Put It into Practice. 2nd ed., Beijing: Publishing House of Electronic Industry, 2018 (in Chinese).
- [13] Graves A, Jaitly N, Mohamed A. Hybrid speech recognition with deep bidirectional LSTM. In: Proc. of the 2013 IEEE Workshop on Automatic Speech Recognition and Understanding. 2013. 273–278. [doi: 10.1109/ASRU.2013.6707742]
- [14] Luong MT, Pham H, Manning CD. Effective approaches to attention-based neural machine translation. In: Proc. of the Empirical Methods in Natural Language Processing. 2015. 1412–1421. [doi: 10.18653/v1/D15-1166]
- [15] Cho K, Van Merriënboer B, Gulcehre C, Bahdanau D, Bougares F, Schwenk H, Bengio Y. Learning phrase representations using RNN encoder-decoder for statistical machine translation. In: Proc. of the Empirical Methods in Natural Language Processing. 2014. 1724–1734. [doi: 10.3115/v1/D14-1179]
- [16] Hochreiter S, Schmidhuber J. Long short-term memory. *Neural Computation*, 1997,9(8):1735–1780.
- [17] Li H. Statistical Learning Method. Beijing: Tsinghua University Press, 2012 (in Chinese).
- [18] Smith N, Bruggen DV, Tomassetti F. JavaParser: Visited analyse, transform and generate your Java code base. 2017. <https://enterprise.leanpub.com/javaparservisited>
- [19] Grinberg M. Flask Web Development. O'Reilly Vlg GmbH & Co., 2014.
- [20] Nadi S, Kr S, Mezini M, Bodden E. Jumping through hoops: Why do Java developers struggle with cryptography APIs? In: Proc. of the 38th Int'l Conf. on Software Engineering. 2016. 935–946. [doi: 10.1145/2884781.2884790]
- [21] Egele M, Brumley D, Fratantonio Y, Kruegel C. An empirical study of cryptographic misuse in Android applications. In: Proc. of the Conf. on Computer and Communications Security. 2013. 73–84. [doi: 10.1145/2508859.2516693]
- [22] Fahl S, Harbach M, Muders T, Smith M, Baumgärtner L, Freisleben B. Why eve and mallory love Android: An analysis of android SSL (in) security. In: Proc. of the Conf. on Computer and Communications Security. 2012. 50–61.
- [23] Gousios G, Spinellis D. Mining software engineering data from GitHub. In: Proc. of the 2017 IEEE/ACM 39th Int'l Conf. on Software Engineering Companion. 2017. 501–502. [doi: 10.1109/ICSE-C.2017.164]
- [24] Fowkes J, Sutton C. Parameter-free probabilistic API mining across GitHub. In: Proc. of the 2016 24th ACM SIGSOFT Int'l Symp. on Foundations of Software Engineering. 2016. 254–265. [doi: 10.1145/2950290.2950319]

- [25] Chen SF, Goodman J. An empirical study of smoothing techniques for language modeling. Computer Speech & Language, 1999, 13(4):359–394. [doi: 10.1006/csla.1999.0128]

附中文参考文献:

- [1] 李正,吴敬征,李明树.API 使用的关键问题研究.软件学报,2018,29(6):1716–1738. <http://www.jos.org.cn/1000-9825/5541.htm> [doi: 10.13328/j.cnki.jos.005541]
- [7] 钟浩,张路,梅宏.软件库调用规约挖掘.软件学报,2011,22(3):408–416. <http://www.jos.org.cn/1000-9825/3931.htm> [doi: 10.3724/SP.J.1001.2011.03931]
- [12] 郑泽宇,梁博文,顾思宇.TensorFlow:实战 Google 深度学习框架.第 2 版,北京:电子工业出版社,2018.
- [17] 李航.统计学习方法.北京:清华大学出版社,2012.



汪昕(1996—),女,福建泉州人,硕士生,CCF 学生会员,主要研究领域为智能化软件开发.



陈驰(1993—),男,博士生,主要研究领域为代码推荐.



赵逸凡(1995—),男,硕士生,CCF 专业会员,主要研究领域为智能化软件开发.



彭鑫(1979—),男,博士,教授,博士生导师,CCF 高级会员,主要研究领域为智能化软件开发,移动计算,云计算.



赵文耘(1964—),男,博士,教授,博士生导师,CCF 高级会员,主要研究领域为软件工程,智慧城市.